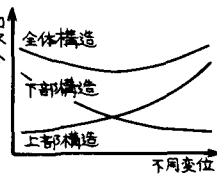


送電鉄塔基礎の運動について—上下部構造一体設計の観点から—

名古屋大学 正員 松尾 純
名古屋大学 学生員 大山 耕二

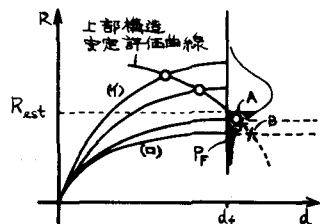
1.はじめに：「上下部構造のバランスのとれた設計」ということがよく言われる。ただし、具体的な方法論としてではなく、抽象的な表現としてである。本研究は、この重要な命題を具体的に解明するための最初の試みである。ここでは送電用鉄塔を具体例として取上げ検討する。

2.基本的な考え方：上下部構造のバランスのとれた設計は、上、下部構造をそれぞれ別々に設計する従来法では達成されえない。両者を一体として、システム的に考えなければならない。その方法として基本的に次のようと考える。まず上、下部構造をつなぐ共通の尺度として不同変位を考える。図1に示すように、もし大きな不同変位を許し得るとするならば、下部構造の建設費は小さくなる（例えば小さな基礎とする）。これに対し、上部構造ではより大きな二次応力に耐える必要から、その建設費は高くなる（例えば断面積の増大）。したがって、構造物全体に関する費用曲線は下に凸となり、いま仮に費用最小の評価基準を用いるならば「費用最小点」として上下部構造のバランス設計が具現化される。なお、具体的には以下に示すように破壊確率の概念が導入される。



3.送電用鉄塔の上・下部構造一体設計：まず次の仮説を設ける。i) 上部構造の挙動は確定的に、下部構造（基礎）の挙動は確率的に表わせる。（前者は後者に比べて変位や強度のばらつきの程度が大幅に小さいから）、ii) 基礎の引揚げ抵抗力をR、対応する引揚げ量をd_fとするとき、R-d_f関係は双曲線で近似できる（4-1参照）、ただし、ある引揚げ量d_fに対応する最大抵抗力R_{max}が存在し、d_f > d_fではR = R_{max} = 一定とする、iii) 4脚の基礎は同一形状、同一寸法で、かつ平均的にみて同一の地盤に埋設されていると考え、同一のR-d_f曲線を有するとする。仮設i)より、鉄塔全体の破壊確率は結局基礎の破壊確率P_Fに等しくなるから、以下にP_Fの求め方を検討する。

基礎の形状や寸法が定まっている場合、埋戻し土の強度や変形特性が現実にはばらつくから、そのR-d_f曲線は種々想定される（図2参照）。例えば、一定の荷重に対し曲線(i)は(ii)に比べて変位ははるかに大きい。したがって、基礎が曲線(i)に従って挙動したならば上部構造は破壊しない場合でも、もし(i)の挙動が現実に出現したならば、上部構造は破壊することが起こりうる。いまある変位量d_f上、下部構造がつり合い、上部構造が安定状態を保た場合、その点を図2のR-d_f曲線上に○印で示す。いっぽう、変形が大きくなると上部構造がついに破壊する場合の点を×印で示す。このようにすると、これら2つの点を結んだ線は図2のように右下りの連続した曲線となる。この曲線を上部構造安定評価曲線（実線が非破壊部分、点線が破壊部分）と呼ぶことにする。さて、R-d_f曲線の変化にもかかわらず、R_{max}に対応する変位d_fは一定と仮定する。このようにすると、上部構造安定評価曲線とd_f = 定数との交点以下にR_{max}を有する基礎は、上部構造がまだ破壊していない場合（例えば図の点A）、破壊してしまっている場合（図点B）のいずれ



れにかかわらず、すでに破壊してしまっていることになる。仮説により基礎の破壊前に上部構造が破壊してはならない。そこで、鉄塔全体の一體設計の観点からすれば、上部構造安定評価曲線の非破壊部分が $d = d_f$ 線と交わるような上下部構造の組合せを考え、そしてその交点以下に R_{max} を有する基礎の破壊確率を鉄塔全体の破壊確率とすればよいことになる。

4 送電用鉄塔基礎の挙動：すでに述べたことからわかるように、本設計法では基礎の破壊特性を究明することが基本となるので、以下においてはこの点に主眼をおいて考察する。上下部構造一体とした解析を行なう場合、下部構造において必要な事項は、i) $R \sim d$ 関係の法則性の発見、ii) R_{max} と d_f に関する法則性の発見である。さらに設計という観点からは、設計変数である基礎床板幅 B 、基礎の埋設深 D 、および条件変数である土の粘着力 C 、せん断抵抗角 γ 、単位体積重量 γ_0 と、上記 i) ii) との関係も必要である。

4-1, $R \sim d$ の関係： $R \sim d$ の関係を見つけるため、過去に行われた多くの現場実験を再整理した。その結果図3のよう $R \sim d$ 関係は双曲線関数 $\frac{d/D}{R/BD} = a + b \times \frac{d/D}{R/BD}$ で近似できることがわかった。また双曲線関数を規定するパラメータ a 、 b と土質諸係数 C 、 γ 、 γ_0 との相関を認められなかつた。

4-2, R_{max} と d_f ： R_{max} については松尾式⁵⁾がある。そこでの式を用い、設計変数 B 、 D 、条件変数 C 、 γ 、 γ_0 について次のように感度分析を行なつた。 C 、 γ_0 は独立、 $\tan \gamma$ と⁶⁾ とは $\tan \gamma = A \cdot \gamma_0 + B$ の関係があるとして、土質諸係数の分布形をそれが固定（松尾論⁷⁾文中の Sole 2）した場合 B 、 D を変化させて、 R_{max} の分布形を調べた。また d_f については過去における現場実験を整理した。得られた結果を結論的に列挙すると以下のとおりである。

i) R_{max} は正規分布に従う（図4(a)）、ii) R_{max} の平均値は B 、 D の増大につれて大きくなる（図4(b)）、iii) R_{max} の変動係数は B の増大につれて小さくなるが、 D に関してはあまり変わらなかつた、iv) d_f については、 γ の限定された範囲で D と d_f が線形の関係にあることが予想される。

他の分析結果や上部構造安定評価曲線については、講演時に達成する。

参考文献 1) 松尾：最新土質実験；森北出版、P 108 2) 6) 松尾、黒田；土木学会論文集、208号、PP 63～73 3) 青木、福本；土木学会論文集、201号、P 39 4) 星谷：確率論手法による構造解析；鹿島出版、PP 128～144 5) 電気学会：送電鉄塔設計標準；電気書院、PP 58～60

